

Free Electron Laser and Laser Accelerator

Kunioki Mima

Institute of Laser Engineering, Osaka University

ABSTRACT

The basic ideas of free electron laser (FEL) and laser accelerator (LA) and the present status of the researches are reviewed.

Since the oscillator experiment at Stanford University was successful in 1976, many FEL experiments both in the compton and the Raman regimes have been done mostly on the amplification processes. The theoretical works on the radiation interactions with electron beams have been done and proposed some new ideas on the gain enhancement, for instances, the tapering of the wiggler period and strength, optical klystron, DC and RF field effects in the wiggler, laser induced cooling in a storage ring and so on. At present, the main effort in the FEL research seems on the oscillator experiments in the optical regime, because any oscillator experiments other than the Stanford experiment have not been successful so far.

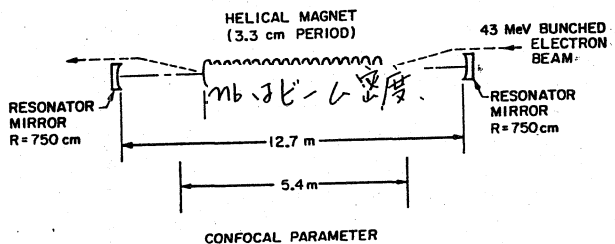
The laser accelerator researches recently started. They are mainly theoretical works and still premature although the laser accelerator concept has attractive features which theoretically make 100 TeV accelerator possible. In this presentation, laser-plasma accelerator for ultra-high energies will be discussed.

I. Free Electron Laser

I-1. 加速器への寄稿

1977年、スタンフォード大学でLCAからのビームを用いてFELの発振実験に成功した。発振波長は約3μmである。光共振器及びヘリカルワイヤーの配置は図1に示す。この実験が成功した第1の理由としてLCAのビーム質の良さが上げられる。図の様に周期数が160もの大いさのワイヤーが有効に働くために、ビームのエミッタスが極めて良好でなければならぬ。コンデンション領域でのFELの最大利得は、長さL、周期入子数N=L/λ₀のワイヤーに及ぶ。ビームのワイヤー-軸方向の速度広がりが△Yz ≪ Yz/4Nを満足するとき。

$$G = \frac{32 e n_b k^2 L^3}{\pi (1+k^2)^{3/2} Y_\phi^3} \text{ 入子数 } \quad (1)$$



式(1)の右辺、k、Yz、ワイヤー入子数($\lambda_0 e B_w / 2 \pi m c^2$)、mb.ビーム密度、 $n_b = -T_{nc}^2$ 図1. は古典電子力学である。この場合、利得は L^3

Configurational and dimensions of helical magnet and optical resonator for the 3 μm single pass FEL.

D. A. G. Deacon et al. Phys. Rev. Lett. 38 (1977) 892-5

に比例して増加するが、 $\Delta Y_2 > Y_2 / \Delta N$ になると、利得はしに比例するようになり、ウェイグラーが有効に働くようになる。スタンフォードでの実験の場合、 $\Delta Y_2 / Y_2 \leq 1.5 \times 10^{-3}$ が要求されていき。ビームの半径、 r_b 及びイニシャルエネルギーに対し、ウェイグラー中の軌道解析から、

$$\frac{\Delta Y_2}{Y_2} \approx \frac{1}{2} \frac{1}{1+k^2} \left\{ \left(\frac{r^2 \epsilon^2}{\pi^2 r_b^2} \right)^2 + (2\pi)^2 \left(\frac{r_b}{\lambda_0} \right)^2 k^2 \right\}^{1/2} \quad (2)$$

と評価出来る³⁾。SCA のビームは $\epsilon = 4 \times 10^{-3} \text{ mm rad}$ 、 $r_b = 0.5 \text{ mm}$ であり、 $k = 1$ 、 $\lambda_0 = 3.3 \text{ cm}$ であることを考慮すると⁴⁾、 $\Delta Y_2 / Y_2 \approx 2 \times 10^{-3}$ となり要求をほぼ満たしている。なお最適なビーム径を $r_b = (\gamma \lambda_0 \epsilon / 2\pi^2 k)^{1/2}$ で評価すると 0.075 mm となるときに、 $\Delta Y_2 / Y_2 = 7 \times 10^{-5}$ を実現出来る。

以上、高利得を実現し、FEL 流振に成功するには質の良い電子を用いることが不可欠である。

I-2. 他の增幅実験；利得増大の方法と Storage Ring F.E.L. Experiments

ウェイグラーの構造、配置により小信号利得及び飽和利得の増大を計ることを考へておこう。飽和利得の改善について、ウェイグラー周期及び強度の Tapering⁵⁾、D.C. BWRF Field の印加⁶⁾による利得増大が提案され、Tapering の効果についてロスアラモス研究所、TRW 等で実験的検証が行なわれた。特にロスアラモスの結果ではビームから Radiation へのエネルギー変換率が 1%にも達し、この時のビームのエネルギー分布が Tapering Effects の特徴である Double Peak の分布に付することが観測されている。

一方、流振実験を成功させたには、小信号利得を上げることが本質的である。最近行なわれた新しい提案の一つが Optical klystron である⁷⁾。

図 2 の様に 2 個の Undulator と Dispersive Section を連結すればいい。Undulator ① は Radiation によるビームのエネルギー変換を受ける。Dispersive Section は Bunching を行ない。Undulator ② での強烈な放射が起るようになる。この時の利得の周波数依存性が図 3 に示されている。通常のウェイグラー ($L_d = 0$) での利得曲線が Modulation を受け、最大利得が増大する。二つの方法は、直線部の長さが制限される Storage Ring の場合、比較的短い距離で高い利得を上げられるといふ。この応用が考へられていく。

ビームエネルギーから Photon への高効率変換という立場から、SR FEL の一つの出路である。Orsay (ACO Storage Ring)

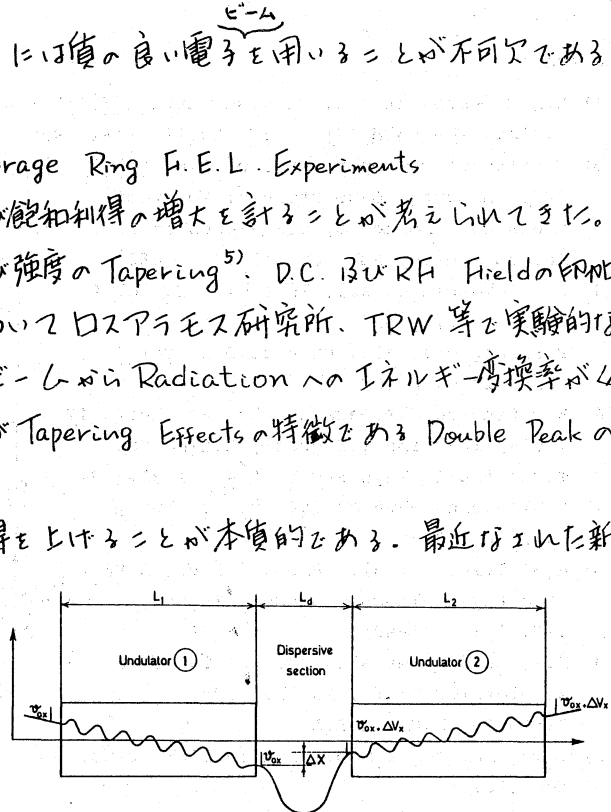


図 2. Lay-out of the optical klystron and electron trajectory.

P. Elleaume, 'Free Electron Generations of Coherent Radiation' Edited by S.F. Jacobs et al., Vol. 9, 1982, 5)

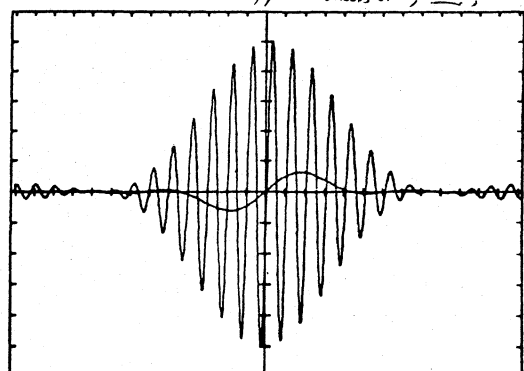


図 3. Gain at first harmonic versus energy for $N_1 = N_2 = ?$ and $N_d = 0$ (smooth curve) and 53 (oscillating curve).

及び Frascati で実験が進められていく。 Osray での超伝導アンジュレーター及び SmCo 磁石を用いた増幅実験が進められ、利得、Bunch Lengthening、Optical klystrom の結果、等々各種多様な実験が進められていく⁸⁾。 図4には、レーザーによる誘導電場による Bunch Lengthening の様子が示されている。これは比較的ビーム電流の小さい場合であるが、ビーム電流が 1mA 以上になると、横口の異常が Dipole Quadrapole mode に起因して現われるところが報告されている⁹⁾。

II. Laser Accelerator¹⁰⁾

この部分は、講義にて。

Reference.

- 1) D.A.G.Deacon et al., Phys.Rev.Lett. 38 ('77) 892
- 2) K.Mima, 日本物理学会誌, 37, No.11, ('82) 906
- 3) C.Brau and R.Cooper, Phys.of Q.E. vol.7
'Free Electron Generators of Coherent Radiation' Edited by S.F.Jacobs et al., Addison-Wesley Pub. CO., 1980, p.660
- 4) J.N.Eckstein et al., Phys.of Q.E. vol.8
Ibid, 1982, p.49
- 5) P.Sprangle et al., Phys.of Q.E. vol.7
Ibid, 1980, 0.207
- 6) A.T.Lin and J.M.Dawson, Phys.Rev.Lett. 42 (1979) 1670 and T.Taguchi, K.Mima and T.Mochizuki, Phys.Rev.Lett 46 (1981) 824
- 7) P.Elleaume, Phys.of Q.E. vol.8, Ibid, 1982, p.119
- 8) M.Billardon et al., Proc.of Conf.on FEL, J.de Phys.Colloque, Bendor, France, 175 w/cm², 9/27-10/1, (1982)
- 9) K.E.Robinson et al., Proc.of Particle Accelerator Conf., March, 1983, Santa Fe, N.M., U.S.A.
- 10) T.Tajima, to be published in IEEE Trans. Nucl.Sci.

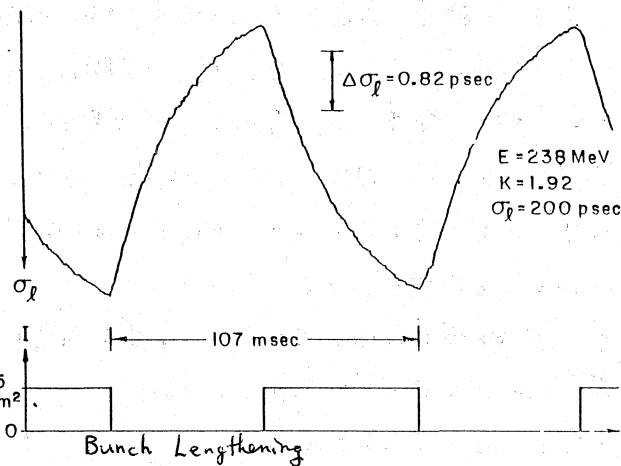


図4 上図は下図の storage ring と Laser の相互作用による Bunch Lengthening の測定。 $\sigma_{\tilde{t}}$ は電子ビーム半径の変化量で、下図は Chopped Laser Pulse。